

# Sorry arima, I'm going Bayesian

Pierre Gauthier

École des Mines de Nancy

May 2019

Tuteur : Denis Villemonais

# Introduction

- Projet à partir du billet *Sorry ARIMA, but I'm Going Bayesian* par Kim Larsen.
- Étudier une autre approche que celle classique pour les série temporelles.
- Utilisation des méthodes de Monté-carlo par chaîne de Markov.

# Sommaire

- 1 Méthode de Monte-Carlo par chaînes de Markov
- 2 Approche bayésienne pour la modélisation des series temporelles
- 3 Modélisation d'un jeu de données

## Méthode de Monté-carlo par chaînes de Markov

## Monté-Carlo Markov Chain

- Utilisé initialement lors du projet *Manhattan*, développé par Nicholas Metropolis et Stanislas Ulamn en 1949.
- Amélioration de la méthode avec l'échantillonnage préférentiel par Keith Hastings (1970)
- Application en optimisation (recuit simulé), en physique statistique, en machine learning, ...

## Principe de l'Échantillonneur de Gibbs

- On veut obtenir la loi de  $\Theta = (\theta_1, \dots, \theta_n)$
- On ne peut pas exprimer  $Loi(\Theta)$  mais on connaît  $Loi(\theta_i | (\theta_1, \dots, \theta_{i-1}, \theta_{i+1}, \dots, \theta_n))$

### Algorithme d'Échantillonnage de Gibbs

Soit  $\Theta^{(t)} = (\theta_1^{(t)}, \dots, \theta_n^{(t)})$

- 1 Prendre des valeurs initiales  $\Theta_0$
- 2 Pour  $t$  de 1 à ...
  - Tirer  $\theta_1^{(t+1)} \sim \mathbb{P}(\theta_1 | X, \theta_2 = \theta_2^{(t)}, \dots, \theta_n = \theta_n^{(t)})$
  - ...
  - Tirer  $\theta_n^{(t+1)} \sim \mathbb{P}(\theta_n | X, \theta_1 = \theta_1^{(t+1)}, \dots, \theta_{n-1} = \theta_{n-1}^{(t+1)})$

- Problème multidimensionnel  $\rightarrow$  problème unidimensionnel
- La chaîne de Markov ainsi définie admet comme mesure invariante la distribution jointe de  $\Theta$
- On obtient des tirages  $\Theta_{i_1}, \dots, \Theta_{i_M}$  de la distribution jointe de  $\Theta$

Nous pouvons ainsi estimer les loi marginales des  $\theta_i$  par

$$p_{\theta_i}(x) = \frac{1}{m} \sum_{t=1}^m p(x|\theta_1^{(t)}, \dots, \theta_n^{(t)}) \text{ (Rao - Blackwellized)}$$

## Convergence ?

- Regarder la trace
- Regarder les autocorrélations des tirages.
- Comparer des parties de l'échantillon avec le *Geweke z-score*

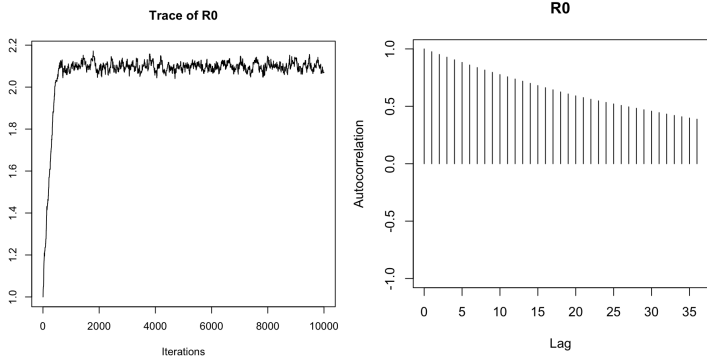


Figure – Exemple pour un paramètre de régression



## Un exemple simple pour l'Échantillonneur de Gibbs

On simule la loi d'un vecteur gaussien  $\begin{pmatrix} X \\ Y \end{pmatrix} \sim N \left[ \begin{pmatrix} \mu_1 \\ \mu_2 \end{pmatrix}, \begin{pmatrix} \sigma_1^2 & \rho \\ \rho & \sigma_2^2 \end{pmatrix} \right]$

On utilise l'échantillonneur de Gibbs en itérant :

$$x_{n+1} \sim \mathcal{N} \left( \mu_1 + \rho \frac{\sigma_1}{\sigma_2} (y_n - \mu_2), \sigma_1^2 (1 - \rho) \right)$$

$$y_{n+1} \sim \mathcal{N} \left( \mu_2 + \rho \frac{\sigma_2}{\sigma_1} (x_{n+1} - \mu_1), \sigma_2^2 (1 - \rho) \right)$$

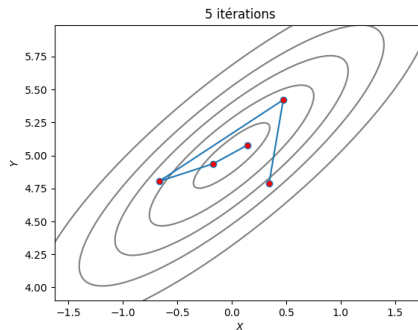
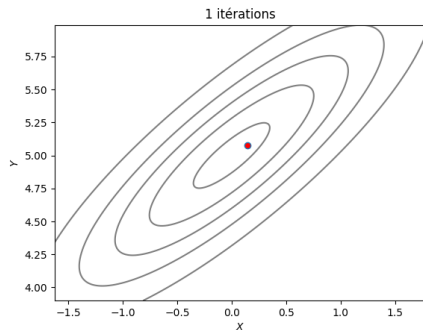
```

1 def sample_x_given_y(y, mean, var):
2     mu = mean[0] + var[0,1] * math.sqrt(var[0, 0]) / math.sqrt(var[1, 1]) * (y - mean[1])
3     var = var[0, 0] * (1 - var[1,0])
4     return np.random.normal(mu, var)
5
6 def sample_y_given_x(x, mean, var):
7     mu = mean[1] + var[0, 1] * math.sqrt(var[1, 1]) / math.sqrt(var[0, 0]) * (x - mean[0])
8     var = var[1, 1] * (1 - var[1,0])
9     return np.random.normal(mu, var)
10
11 def gibbs_sampler(mean, var, N_iter):
12     samples = np.zeros((N_iter, 2))
13     y = mean[1]
14
15     for i in range(N_iter):
16         x = sample_x_given_y(y, mean, var)
17         y = sample_y_given_x(x, mean, var)
18         samples[i, :] = [x, y]
19
20     return samples

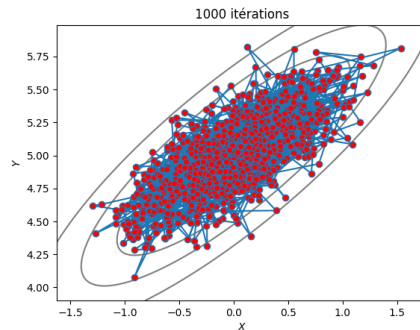
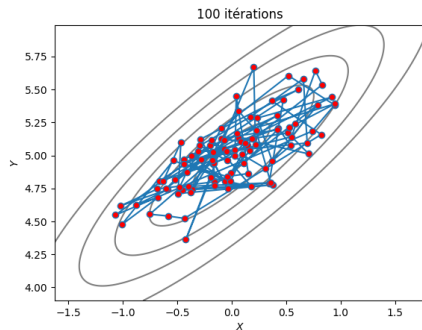
```

Listing 1 – Implémentation Python

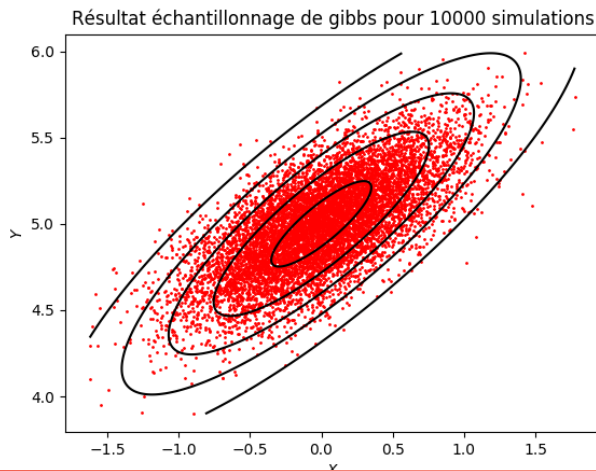
**Simulations**  $\begin{pmatrix} \mu_1 \\ \mu_2 \end{pmatrix} = \begin{pmatrix} 0 \\ 5 \end{pmatrix}$ ,  $\sigma_1^2 = 1$ ,  $\sigma_2^2 = 0.5$ ,  $\rho = 0.6$



**Simulations**  $\begin{pmatrix} \mu_1 \\ \mu_2 \end{pmatrix} = \begin{pmatrix} 0 \\ 5 \end{pmatrix}$ ,  $\sigma_1^2 = 1$ ,  $\sigma_2^2 = 0.5$ ,  $\rho = 0.6$



**Simulations**  $\begin{pmatrix} \mu_1 \\ \mu_2 \end{pmatrix} = \begin{pmatrix} 0 \\ 5 \end{pmatrix}$ ,  $\sigma_1^2 = 1$ ,  $\sigma_2^2 = 0.5$ ,  $\rho = 0.6$



## Application numérique : Une alternative à l'algorithme E-M pour le mélange de gaussiennes

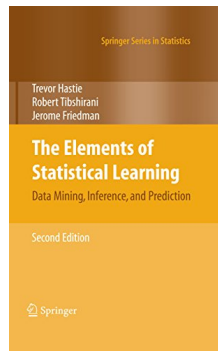
Échantillon  $\mathbf{x} = (\mathbf{x}_1, \dots, \mathbf{x}_N)$  suivant une loi  $f(\mathbf{x}_i, \theta)$  avec des variables latentes  $\mathbf{z} = (\mathbf{z}_1, \mathbf{z}_2, \dots, \mathbf{z}_n)$

→ **Algorithme E-M** : Maximisation de  $L(\theta; \mathbf{X}) = p(\mathbf{x}|\theta) = \int p(\mathbf{x}, \mathbf{z}|\theta) d\mathbf{Z}$

$$L(\mathbf{x}; \theta) = Q(\theta; \theta^{(c)}) - H(\theta; \theta^{(c)})$$

$$\begin{cases} Q(\theta; \theta^{(c)}) = E \left[ L((\mathbf{x}, \mathbf{z}); \theta) | \theta^{(c)} \right] \\ H(\theta; \theta^{(c)}) = E \left[ \sum_{i=1}^n \log f(\mathbf{z}_i | \mathbf{x}_i, \theta) | \theta^{(c)} \right] \end{cases}$$

$\theta^{(c+1)} = \arg \max_{\theta} \left( Q(\theta, \theta^{(c)}) \right)$  fait tendre la suite  $L(\mathbf{x}; \theta^{(c+1)})$  vers un max local



## Application : mélange de gaussiennes

- Les données  $\mathbf{x}$  viennent de gaussiennes  $\{C_1, \dots, C_M\}$
- $\mathbf{z}_i \in \{1, \dots, m\}$  si un individu  $i$  vient de  $C_1, \dots, C_M$

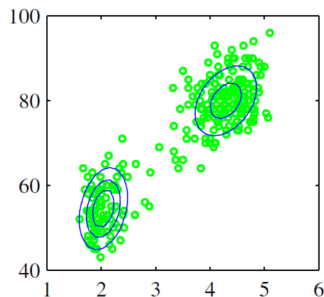
$$\mathbf{x}_i | (\mathbf{z}_i = j) \sim \mathcal{N}(\mu_j, \sigma_j^2) \quad \mathbb{P}(\mathbf{z}_i = j) = \pi_j$$

$$\theta = (\pi, \mu, \sigma^2)$$

- **E-M** : maximisation de  $\hat{\theta}_{\text{MLE}}(\mathbf{x}) = \arg \max_{\theta} f(\mathbf{x}|\theta)$

$$\ell_{\theta}(\mathbf{x}) = \sum_{n=1}^N \log \left( \sum_{j=1}^M \pi_j \mathcal{N}_{\mu_j, \sigma_j^2}(\mathbf{x}_n) \right)$$

- Bayésien estimateur  $\hat{\theta}_{\text{MMSE}}(\mathbf{x}) = E[\theta|\mathbf{x}]$



**Figure** — Mélange de deux gaussiennes [F. Sur, Introduction à l'apprentissage automatique]

## Application : Échantillonneur de Gibbs pour le mélange de 2 gaussiennes

Pour 2 gaussiennes :

$$\begin{cases} \mathbf{x}_i | (\mathbf{z}_i = 1) \sim \mathcal{N}(\mu_1, \sigma_1^2) & \mathbb{P}(\mathbf{z}_i = 1) = \pi_1 \\ \mathbf{x}_i | (\mathbf{z}_i = 2) \sim \mathcal{N}(\mu_2, \sigma_2^2) & \mathbb{P}(\mathbf{z}_i = 2) = \pi_2 = 1 - \pi_1 \end{cases}$$

→ On veut obtenir  $\Theta = (\mathbf{z}, \mu) = (\mathbf{z}_1, \dots, \mathbf{z}_1, \mu)$  ( $\pi, \sigma$  fixés à  $\hat{\pi}, \hat{\sigma}$ )



## Application : Échantillonneur de Gibbs pour le mélange de 2 gaussiennes

■  $\Theta = (\mathbf{z}, \mu) = (\mathbf{z}_1, \dots, \mathbf{z}_1, \mu)$

■  $\mathbf{z} | \mu$  : On a  $p(\mathcal{C}_1 | \mathbf{x}) = \frac{p(\mathcal{C}_1)p(\mathbf{x}|\mathcal{C}_1)}{p(\mathcal{C}_1)p(\mathbf{x}|\mathcal{C}_1) + p(\mathcal{C}_2)p(\mathbf{x}|\mathcal{C}_2)}$

Utiliser  $\mathbb{P}(\mathbf{z}_i = j | \mu, \mathbf{x}) = \frac{\hat{\pi}_j p_{\mathcal{N}}(\mathbf{x}_i, \mu_j, \hat{\sigma}_j)}{\hat{\pi}_1 p_{\mathcal{N}}(\mathbf{x}_i, \mu_1, \hat{\sigma}_1) + \hat{\pi}_2 p_{\mathcal{N}}(\mathbf{x}_i, \mu_2, \hat{\sigma}_2)} \quad j \in \{1, 2\}$

■  $\mu | \mathbf{z}$  :

(à priori)

$$\mathbf{x}_i | \mu, \mathbf{z}_i = j \sim \mathcal{N}(\mu_j, 1/\hat{\tau}_j)$$

$$\mu_j \sim \mathcal{N}(\mu_0, 1/\tau_0)$$

$$(\tau_j = 1/\sigma_j^2, \bar{x} = \frac{1}{N} \sum_{i=0}^N x_i)$$

(à postérieure)

$$p(\mu_j | \mathbf{z}_i, \mathbf{x}) \propto p(\mathbf{x} | \mu, \mathbf{z}_i = j) p(\mu_j)$$

$$\sim \mathcal{N}(\mu'_{j0}, 1/\tau'_{j0})$$

(= maj des coefs)

$$\tau'_{j0} = \tau_0 + N\hat{\tau}_j$$

$$\mu'_{j0} = \frac{N \hat{\tau}_j \bar{x} + \tau_0 \mu_0}{N\hat{\tau}_j + \tau_0}$$

## Échantillonneur de Gibbs pour une mixture gaussienne

1 Prendre les valeurs initiales  $\Theta_0 = (\mathbf{z}^{(0)}, \mu_1^{(0)}, \mu_2^{(0)}), \mu_0, \tau_0$

2 Pour  $t$  de à ...

■ Pour  $i$  de 1 à  $N$  tirer

$$\mathbf{z}_i^{(t+1)} \in \{1, 2\} \text{ avec } \mathbb{P}(\mathbf{z}_i^{(t+1)} = 1 | \mu^{(t)}) = \frac{\hat{\pi}_1 p_{\mathcal{N}}(\mathbf{x}_i, \mu_1^{(t)}, \hat{\sigma}_1)}{\hat{\pi}_1 p_{\mathcal{N}}(\mathbf{x}_i, \mu_1^{(t)}, \hat{\sigma}_1) + \hat{\pi}_2 p_{\mathcal{N}}(\mathbf{x}_i, \mu_2^{(t)}, \hat{\sigma}_2)}$$

■ Pour  $j \in \{1, 2\}$

$$\text{avec } \tau'_{j0} = \tau_0 + N\hat{\tau}_j \quad \mu'_{j0} = \frac{N \hat{\tau}_j \bar{x} + \tau_0 \mu_0}{N\hat{\tau}_j + \tau_0}$$

Tirer  $\mu_j^{(t+1)} \quad \mathbf{z} \sim \mathcal{N}(\mu'_{j0}, 1/\tau'_{j0})$

```

Z_given_mu <- function(X,Z,mu,pi_1){
  # Z variables latentes

  remove_i <- (c(1:length(X)) !=i) # enleve variable i
  estimate_sigma_1 <- sd(X[(remove_i & Z == 1)]) # classe 1
  estimate_sigma_2 <- sd(X[(remove_i & Z == 2)]) # classe 2

  for (i in 1:length(Z)){

    proba1 <- pi_1 * dnorm(X[i],mu[1],estimate_sigma_1) /
      (pi_1 * dnorm(X[i],mu[1],estimate_sigma_1) +
       (1-pi_1) * dnorm(X[i],mu[2],estimate_sigma_2))

    Z[i] = sample(1:2, size=1,prob=c(proba1, 1-proba1),
      replace=TRUE)
  }
  return(Z)
}

```

```

mu_given_Z = function(X, Z, mu_prior){
  # Z variables latentes
  # mu_prior contient parametres loi a priori de mu

  mu = rep(0,2) ; sigma = rep(0,2)

  for(j in 1:2){

    sample_j_size = sum(Z==j)
    sample_j_mean = mean(X[Z==j])
    sigma[j] = sd(X[Z==j]) ; precision_j = 1 / sigma[j]^2

    precision_post = sample_j_size * precision_j +
      mu_prior$precision

    mean_post = (sample_j_mean * sample_j_size *
      precision_j + mu_prior$mean *
      mu_prior$precision) / precision_post

    mu[j] = rnorm(1,mean_post,sqrt(1/precision_post)) # on
      tire mu selon la loi normale a posteriori
  }
  return(list(mu = mu, sigma = sigma))
}

```

```

echantillonneur_gibbs <- function(X,N_simu){
  # X sont les donnees
  # initialisation
  .
  .
  .
  for (k in 1:N_simu){

    Z <- Z_given_mu(X,Z,mu,pi_1) ; param_post <- mu_given_Z(X, Z, mu_prior)
    mu = param_post$mu

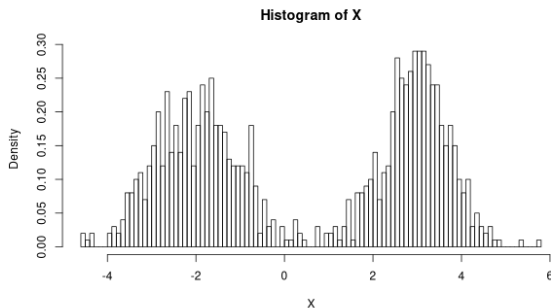
    .
    .
    .
  }
  return(list(Z, mu_1, mu_2))
}

```

## Listing 2 – Implémentation en R

# Simulations

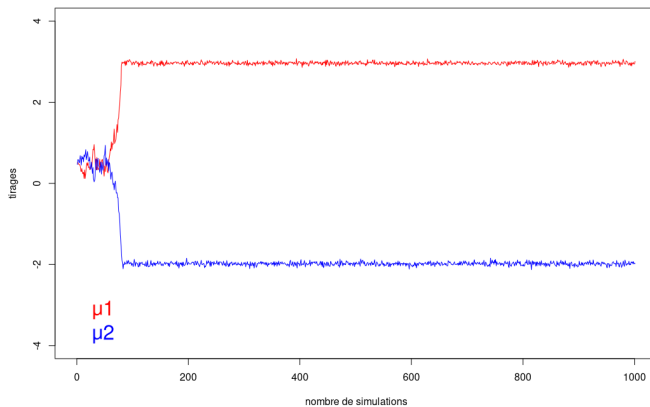
Données : on génère équiprobablement 1000 points à partir de 2 gaussiennes  $\mathcal{N}(-2, 1), \mathcal{N}(-3, 0.5)$



On prend à priori  $\mu \sim \mathcal{N}(0, 4)$

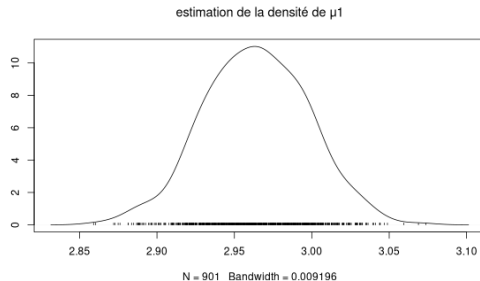
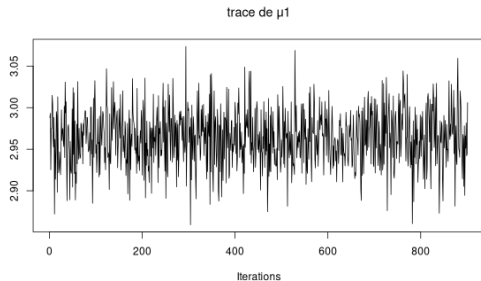
# Simulations

Pour 1000 itérations



→ *burn-in* de 100

## Simulations : diagnostic de $\mu$ avec le package coda



(sans le *burn-in*)

## Simulations : diagnostic de $\mu$ avec le package coda

variable	moyenne	95% CI lower	95% CI upper	vraie valeur
$\mu_1$	2.963882	2.899498	3.032716	3
$\mu_2$	-1.981757	-2.061083	-1.902244	-2

# Approche bayésienne pour les séries temporelles



# Approche bayésienne pour la modélisation des séries temporelles

## ► Les modèle espace-états

		bruit blanc gaussien
equation d'observation	$y_t = Z_t^T \alpha_t + \epsilon_t$	$\epsilon_t \sim N(0, H_t)$
equation de transition	$\alpha_{t+1} = T_t \alpha_t + R_t \eta_t$	$\eta_t \sim N(0, Q_t)$

- $y_t$  observations
- $\alpha_t$  variables d'états / latentes / cachées
- $Z_t$  matrice de mesure
- $T_t$  matrice de transition

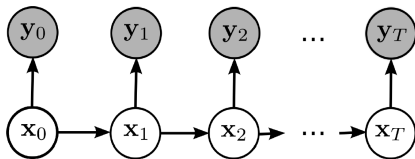


Figure – Hidden Markov Chain[researchgate.net]

# Approche bayésienne pour la modélisation des séries temporelles

→ Bayesian structural time series (BSTS)

bruit blanc gaussien

observation	$y_t = \mu_t + \beta^T x_t + \tau_t + \varepsilon_t$	$\varepsilon_t \sim N(0, \sigma_\varepsilon^2)$
regression	$\beta^T x_t$	
tendance + marche aléatoire	$\mu_t = \mu_{t-1} + \delta_{t-1} + u_t$	$u_t \sim N(0, \sigma_u^2)$
marche aléatoire	$\delta_t = \delta_{t-1} + v_t$	$v_t \sim N(0, \sigma_v^2)$
saisonnalité	$\tau_t = -\sum_{s=1}^{s-1} \tau_{t-s} + w_t$	$w_t \sim N(0, \sigma_w^2)$

→ Bayesian structural time series (BSTS)

observation	$y_t = Z_t^T \alpha_t + \epsilon_t$	$\epsilon_t \sim N(0, H_t)$
	$Z_t^T$ $(1 \ 0 \ \beta^T \mathbf{x}_t)$	$\alpha_t^T$ $(\mu_t \ \delta_t \ 1)^T$
equation de transition	$\alpha_{t+1} = T_t \alpha_t + R_t \eta_t$	$\eta_t \sim N(0, Q_t)$
$\alpha_t$ $(\mu_t)$ $(\delta_t)$ $(1)$	$T_t$ $(1 \ 1 \ 0)$ $(0 \ 1 \ 0)$ $(0 \ 0 \ 1)$	$N_t \eta_t$ $(u_t)$ $(v_t)$ $(w_t)$

→ estimation des paramètres

## Loi à postériori états cachés $\alpha_t$ : Le filtre de Kalman

Itérations sur l'estimation  $p(\alpha_t|y_{1:t}) \sim \mathcal{N}(\hat{\alpha}_t, P_t)$

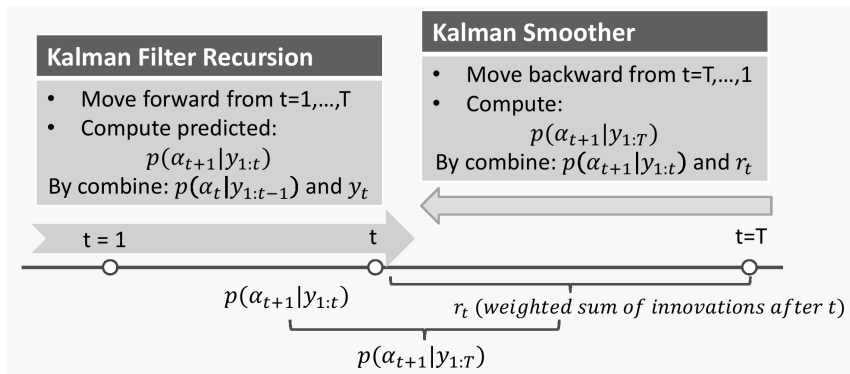


Figure – [github : anhdanggit/nowcasting-google-queries/]

## Loi à postérieure de $\beta$ : *spike-and-slab prior*

- On prend la partie regression  $y_t^* = y_t - \mu_t$
- On utilise pour  $\beta$  une distribution à priori *spike-and-slab* :

$$\blacktriangleright p(\gamma) = \prod_{k=1}^N \pi^{\gamma_k} (1 - \pi)^{1-\gamma_k}, \quad \gamma_k \in \{0, 1\} \quad N = \text{Card}(\mathbf{x})$$

$$\blacktriangleright \text{À priori : } p(\beta, \gamma, \sigma_\epsilon^2) = p(\beta_\gamma | \gamma, \sigma_\epsilon^2) p(\sigma_\epsilon^2 | \gamma) p(\gamma)$$

$$\blacktriangleright \beta_\gamma | \sigma_\epsilon^2, \gamma \sim \mathcal{N}(b_\gamma, \sigma_\epsilon^2 (\Omega_\gamma^{-1})^{-1}) \quad \sigma_\epsilon^2 | \gamma \sim \text{IG}\left(\frac{\nu}{2}, \frac{ss}{2}\right)$$

paramètres à priori :  $\nu$  nombre de paramètres,  $\frac{ss}{\nu} = (1 - R^2) s_y^2$ ,  $\Omega^{-1} \propto X^T X$

- On utilise les propriétés des lois conjuguées pour obtenir les lois à postérieures

$$\beta_\gamma | \sigma_\epsilon, \gamma, \mathbf{y}^* \quad \gamma_\epsilon^2 | \gamma, \mathbf{y}^* \quad \gamma | \mathbf{y}^*$$

- Intérêt de la *spike-and-slab*

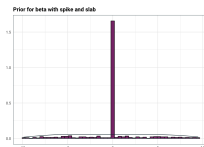


Figure –  
[batisengul.co.uk]

$$\beta_\gamma = \beta[\gamma_k \neq 0]$$

## Échantillonneur de Gibbs pour BSTS : SSVS algorithm

$$\Theta = (\gamma, \beta, \sigma_\varepsilon^2, \sigma_v^2, \sigma_u^2)$$

► Choisir les paramètres à priori  $v, R^2, s_y^2, \pi$

► Tirer  $\gamma, \beta, \sigma_\varepsilon^2, \sigma_v^2, \sigma_u^2$   $\sigma_u^2, \sigma_v^2, \sigma_w^2$  sont tiré selon la loi  $\gamma \sim IG\left(\frac{\nu}{2}, \frac{ss}{2}\right)$

Sur  $1, \dots, M$  :

**1** Après application du filtre de Kalman, on tire les états latents  $\alpha$  depuis  $p(\alpha|y, \gamma, \beta, \sigma_\varepsilon^2, \sigma_v^2, \sigma_u^2)$

**2** On tire  $\sigma_u^2$  et  $\sigma_v^2$  selon  $p\left(\frac{1}{\sigma_u^2}, \frac{1}{\sigma_v^2} | y, \alpha, \beta, \sigma_\varepsilon^2\right)$

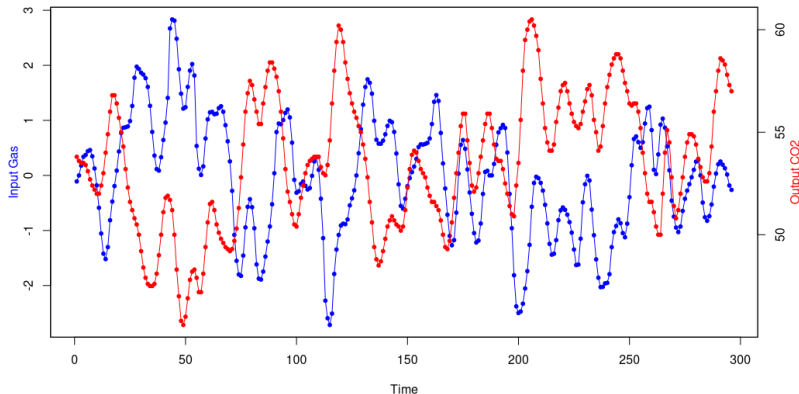
**3** On tire  $\beta$  et  $\sigma_\varepsilon^2$  selon  $p(\beta, \sigma_\varepsilon^2 | y, \alpha, \sigma_u^2, \sigma_v^2)$

On prend comme modèle la moyenne des tirages  $(\Theta^1, \dots, \Theta^M)$

# Utilisation du modèle BSTS sur un jeu de données

On prend le jeu de données **CO2** comprenant 295 observations

- ▶ *Input Gas* : arrivée d'essence
- ▶ *Output CO2* : CO2 en sortie



On utilise le modèle précédent pour exprimer *Input Gas* en fonction de *Output CO2*.

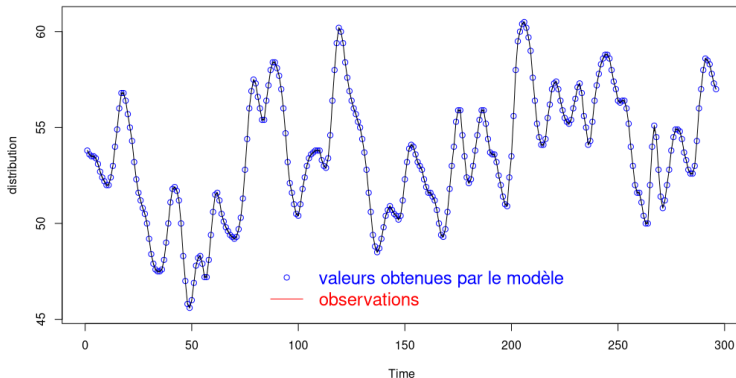
```
library(bsts)
ss <- AddLocalLinearTrend(list(), CO2$output.co2)
bsts.reg <- bsts(output.co2 ~ ., state.specification =
  ss, data =
  CO2, niter = 2000, ping=0, seed=2016)
```

$$y_t = \mu_t + \beta^T \mathbf{x}_t + \epsilon_t \quad \epsilon_t \sim N(0, \sigma_\epsilon^2)$$

$$\mu_t = \mu_{t-1} + \delta_{t-1} + u_t \quad u_t \sim \mathcal{N}(0, \sigma_u^2)$$

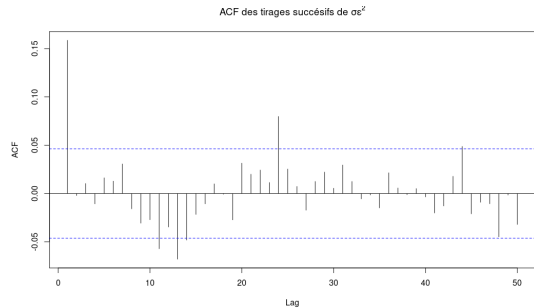
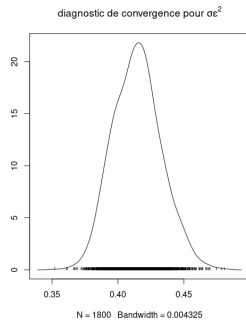
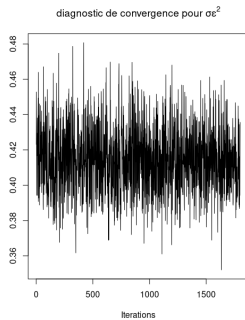
### Listing 3 — package *bsts*

Observations et valeurs obtenues par le modèle *bsts.reg*

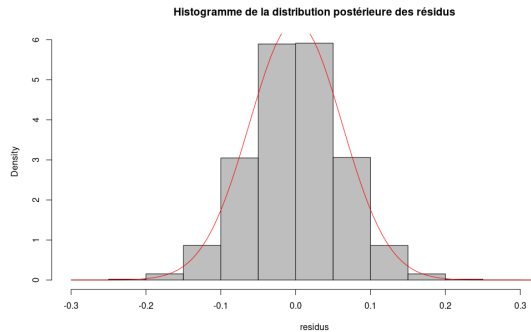
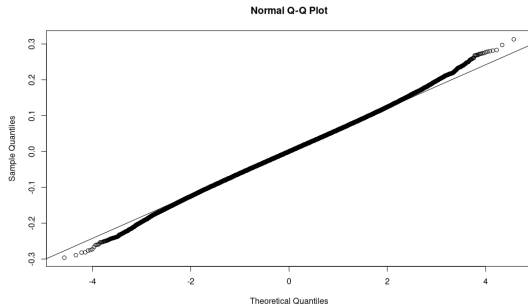




# Convergence



# Résidus



```
> MAPE=mean(abs(colMeans(bsts.reg$one.step.prediction.errors)))/C02$output.co2)
> MAPE
[1] 0.005890585
> MAPE
```

## Comparaison avec un modèle à fonction de transfert

Modèle à fonction de transfert :  $Y_t = \mu + \frac{\Omega(B)}{\Delta(B)} X_{t-b} + \frac{\Theta(B)}{\Phi(B)} \varepsilon_t$

Avec :

- $(Y_t)$  chronique à modeliser
- $(X_t)$  chronique explicative
- $\frac{\Omega(B)}{\Delta(B)}$  fonction de transfert
- $(u_t)$  chronique des erreurs

→ On blanchit la chronique  $X_t$  :  $\chi_t = \frac{\Phi_1(B)}{\Theta_1(B)} X_t$

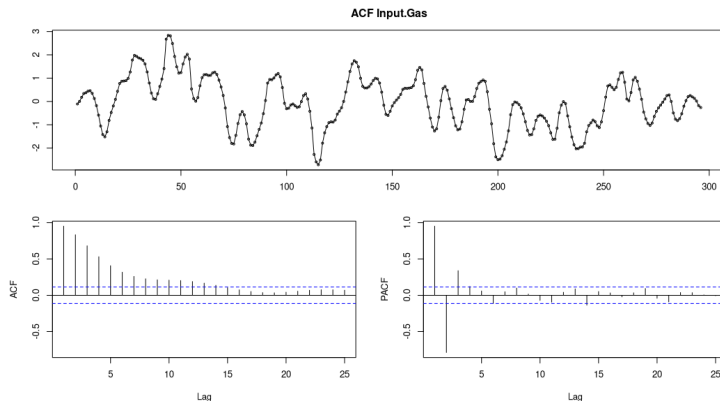
→  $\Upsilon_t = \frac{\Phi_1(B)}{\Theta_1(B)} Y_t = \frac{\Omega(B)}{\Delta(B)} \chi_{t-b} + \tilde{\varepsilon}_t$

On utilise le corrélogramme croisé  $\rho(h) = \frac{\text{Cov}(\chi_t, \Upsilon_{t+h})}{\sqrt{\text{Var}(\chi_t) \cdot \text{Var}(\Upsilon_t)}} = \begin{cases} \nu_h \frac{\sigma_\chi}{\sigma_r} & \text{si } h \geq 0 \\ 0 & \text{si } h < 0 \end{cases}$

où  $\Upsilon_t = \sum_{h \geq 0} \nu_h \chi_{t-h} + \tilde{\varepsilon}_t$

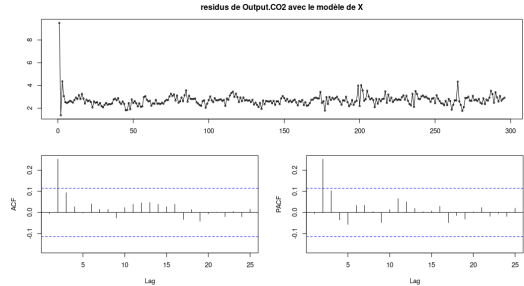
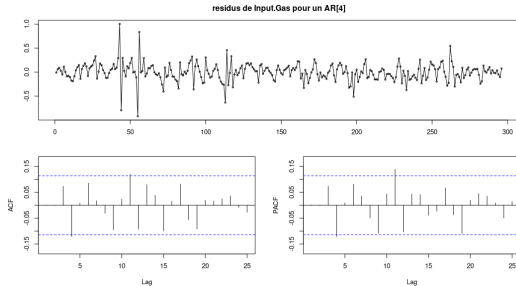
# Application sur le jeu de données CO2

→ blanchissement de *Input Gas*.



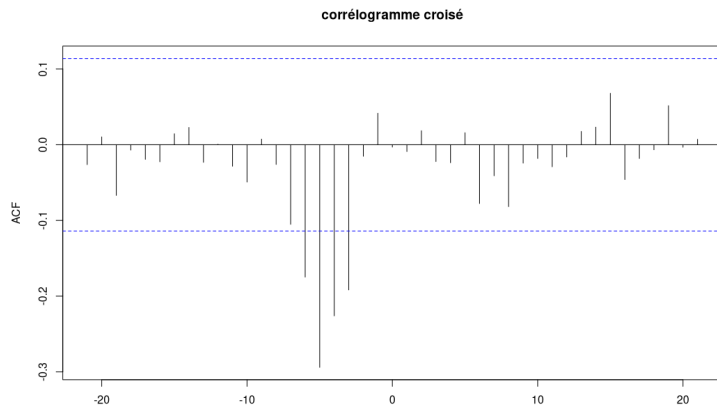
# Application sur le jeu de données CO2

→ blanchissement de *Input Gas*.



# Application sur le jeu de données CO2

→ Déterminer la fonction de transfert



## Application sur le jeu de données CO2

→ Le meilleur modèle est un  $AR[2]$  au numérateur et un polynome de degré 4 au dénominateur

```
> output_XY=arimax(Y,order=c(2,0,0),transfer=list(c(1,5)),fixed=c(NA,NA,NA,NA,0,0,0,NA,NA,NA),xtransf=X)
> summary(output_XY)
Coefficients:
      ar1      ar2  intercept  T1-AR1  T1-MA0  T1-MA1  T1-MA2  T1-MA3  T1-MA4
s.e.  1.5272 -0.6288   53.3618  0.5490      0      0      0  -0.5310  -0.3801
      T1-MA5
s.e.  0.0467  0.0495   0.1375  0.0392      0      0      0   0.0738   0.1017
      -0.5180
s.e.  0.1086

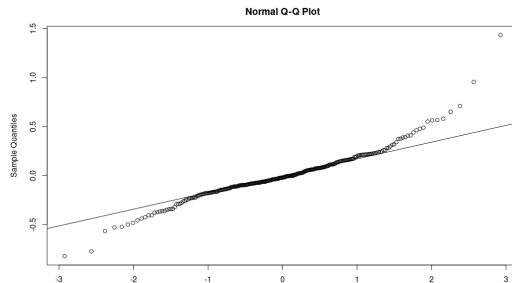
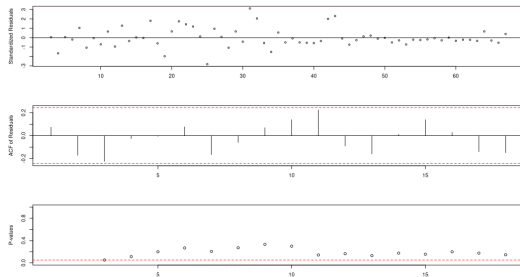
sigma^2 estimated as 0.0571:  log likelihood = 2.08,  aic = 9.83

Training set error measures:
      ME      RMSE      MAE      MPE      MAPE      MASE      ACF1
Training set 0.0001700879 0.2389594 0.1681788 -0.001732428 0.3130213 0.2806151 0.02877323
```

```
> coeftest(output_XY)
z test of coefficients:
      Estimate Std. Error z value Pr(>|z|)
ar1      1.527181    0.046723  32.6859 < 2.2e-16 ***
ar2     -0.628841    0.049471 -12.7114 < 2.2e-16 ***
intercept 53.361773    0.137503 388.0769 < 2.2e-16 ***
T1-AR1    0.549027    0.039191  14.0089 < 2.2e-16 ***
T1-MA3    -0.530964    0.073814  -7.1933 6.325e-13 ***
T1-MA4    -0.380125    0.101704  -3.7376 0.0001858 ***
T1-MA5    -0.518006    0.108562  -4.7715 1.829e-06 ***
```

# Application sur le jeu de données CO2

→ Diagnostic des résidus





# Conclusion

# Conclusion

- Arguments de l'auteur pour une approche bayésienne
- Bayesiens contre fréquentistes
- Les avantages de l'approche bayésienne

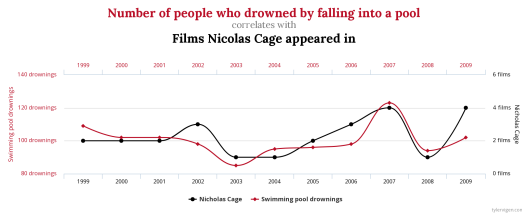


Figure – [<http://www.tylervigen.com/>]

**Merci de votre attention**